



JHPCN: 学際大規模情報基盤共同利用・共同研究拠点

第13回 シンポジウム ポスター発表 EX22206

直交格子法による移動境界問題の解法に関する研究

佐々木大輔(金沢工業大学), 高橋俊(東海大学)

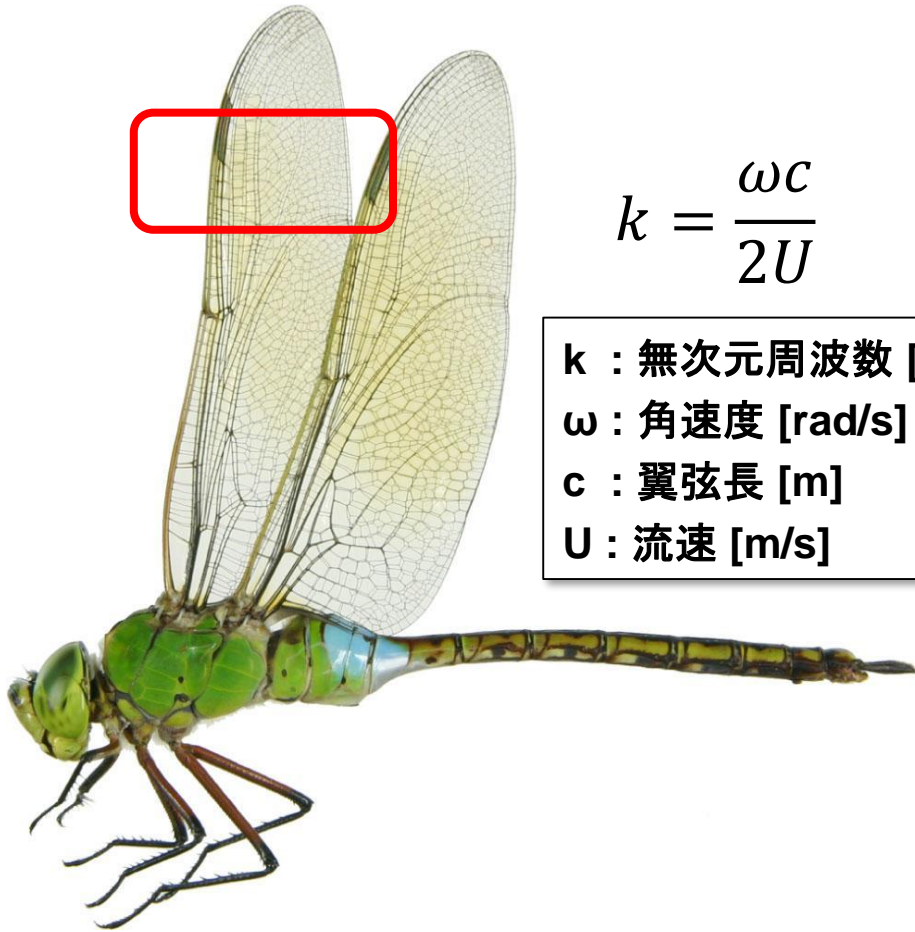
目次

1. 移動境界解析 : 飛翔昆虫の翼解析
2. 固液混相流解析 : 流体食品の流れ
3. 固気混相流解析 : 衝撃波による流れ

目次

- 1. 移動境界解析** : **飛翔昆虫の翼解析**
2. 固液混相流解析 : 流体食品の流れ
3. 固気混相流解析 : 衝撃波による流れ

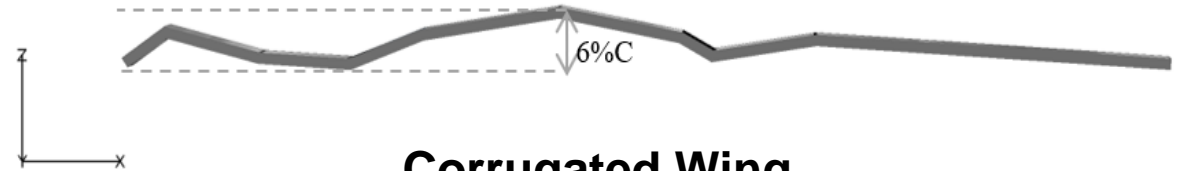
研究背景



<https://mintclub.kobe-np.co.jp/skip/event/4089.html>

$$k = \frac{\omega c}{2U}$$

k : 無次元周波数 [-]
ω : 角速度 [rad/s]
c : 翼弦長 [m]
U : 流速 [m/s]



Corrugated Wing

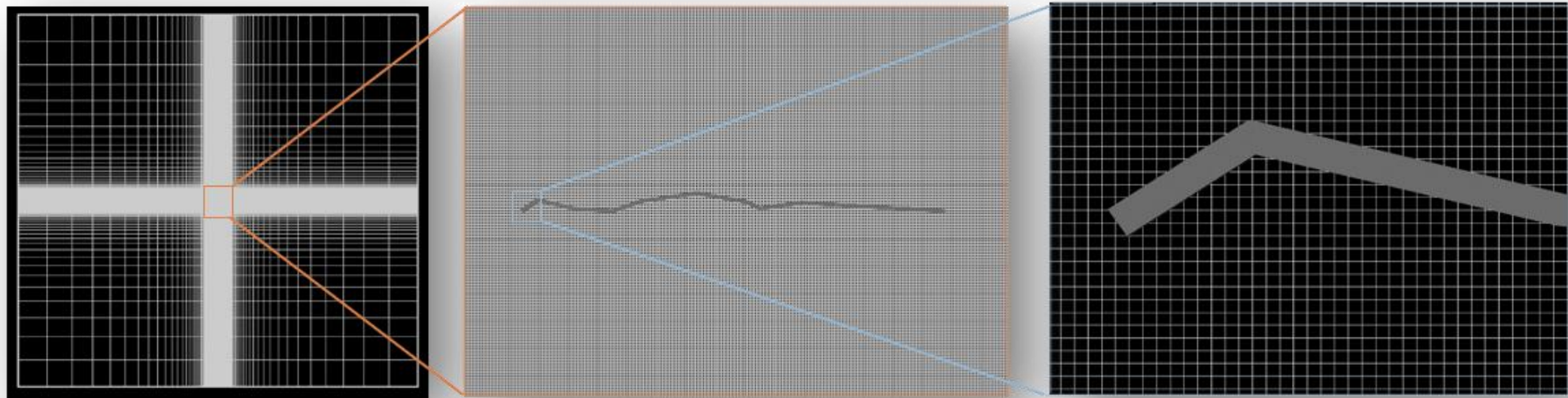
一様流・翼弦長基準Re数	2800
無次元周波数	0.1~0.9
羽ばたき運動	ヒービング (上下方向のみ)

➤ コルゲート翼と
平板翼の空力特性の比較

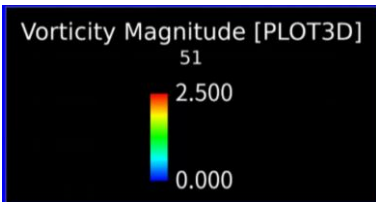
長沼, 佐々木, 高橋, 岡本,
第53 回流体力学講演会 / 第 39 回航空数値シミュレーション技術シンポジウム
講演論文集, 2021年

計算手法

支配方程式	非圧縮性3次元NS方程式
計算格子	等間隔直交格子
物体表現	レベルセット法
物体境界条件	ゴーストセル法



計算結果(上昇時の渦度)



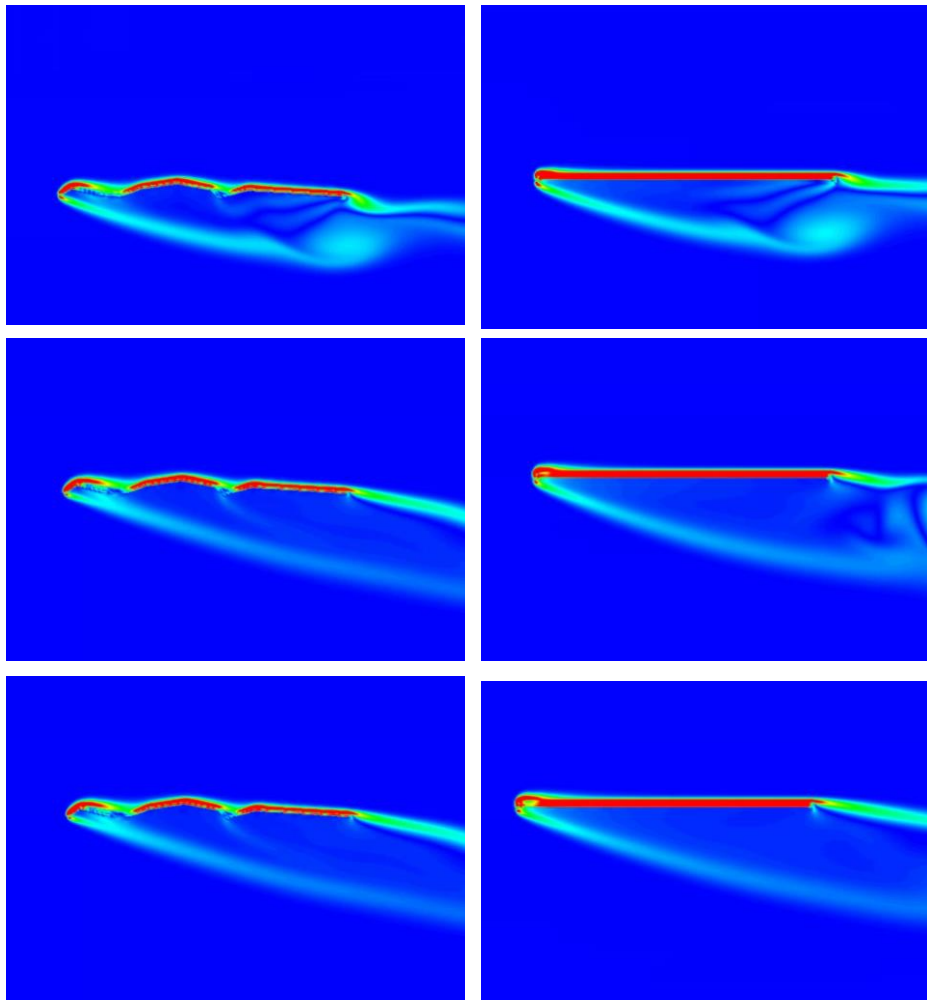
コルゲート翼

平板

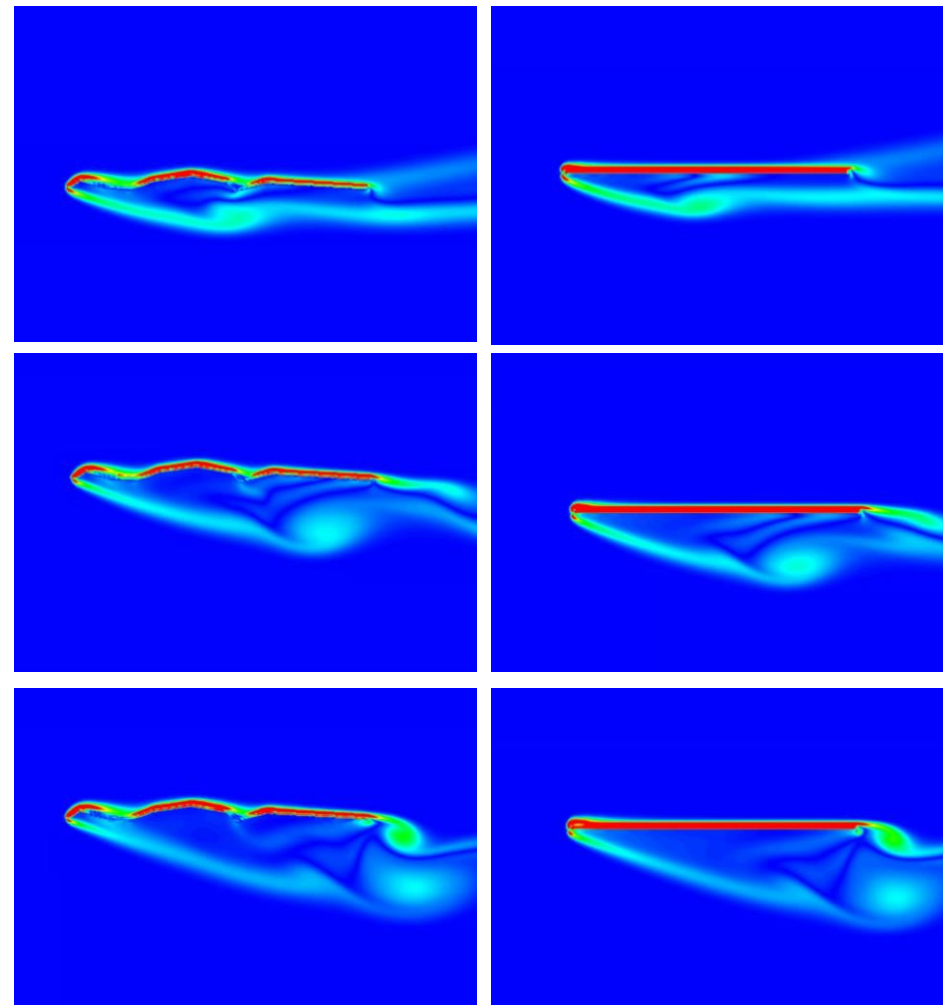
コルゲート翼

平板

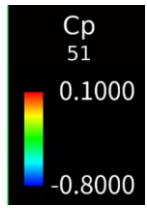
k=0.2



k=0.4



計算結果(上昇時のCp)



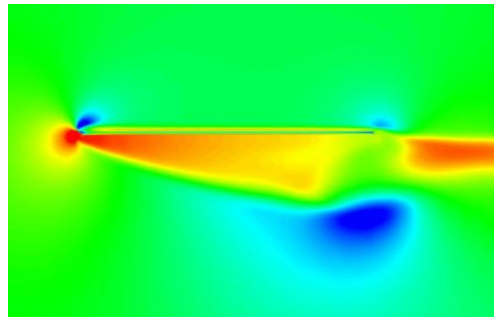
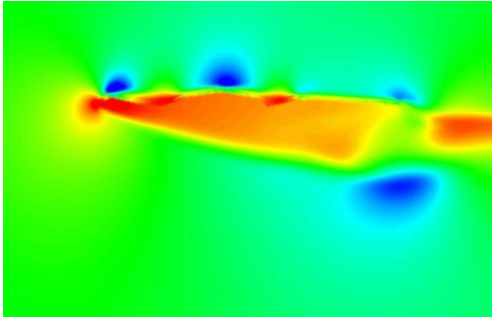
コルゲート翼

平板

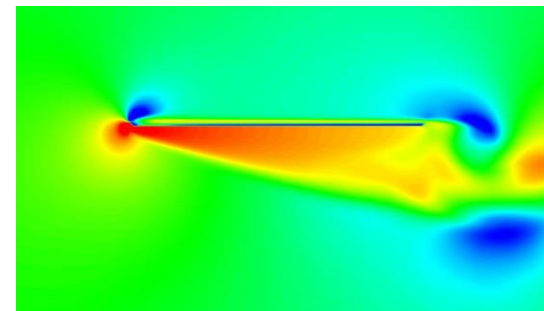
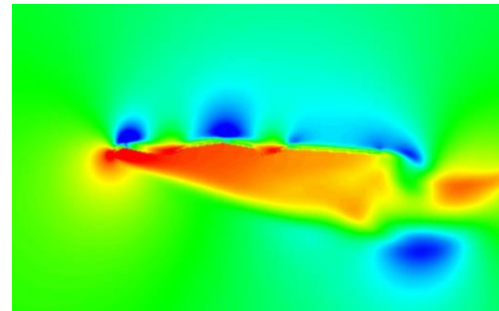
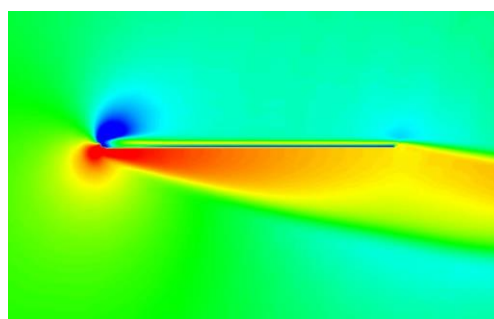
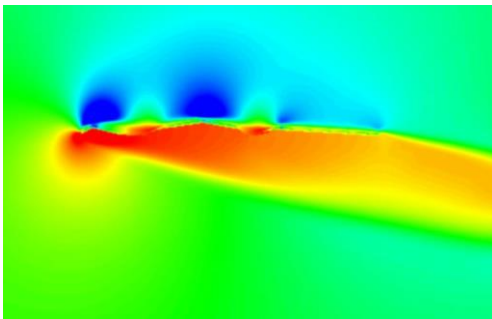
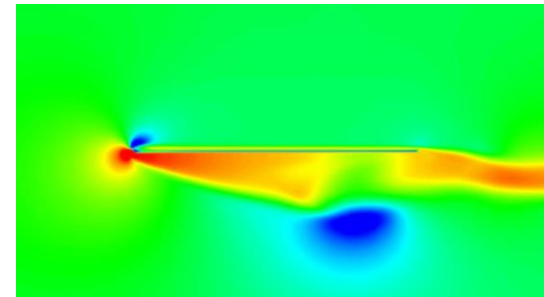
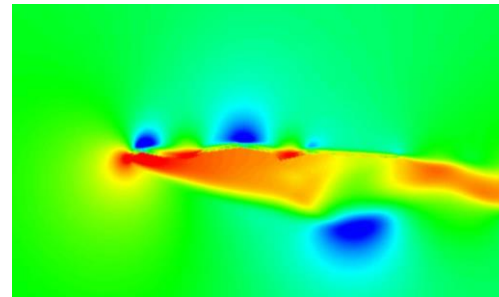
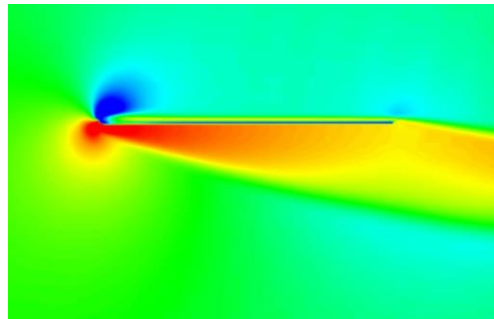
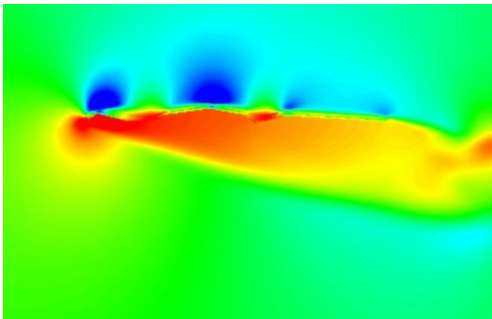
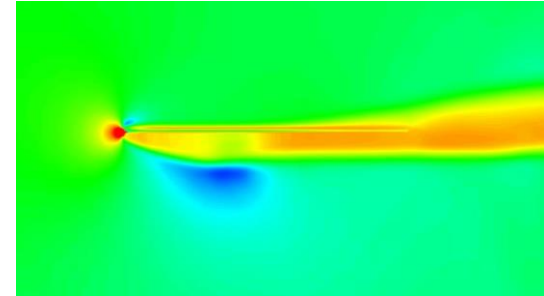
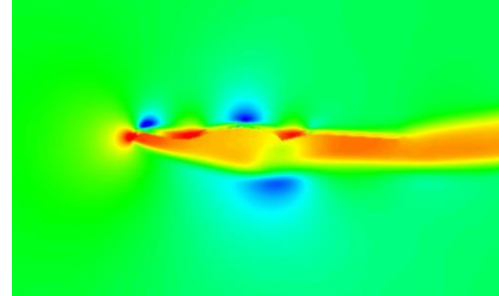
コルゲート翼

平板

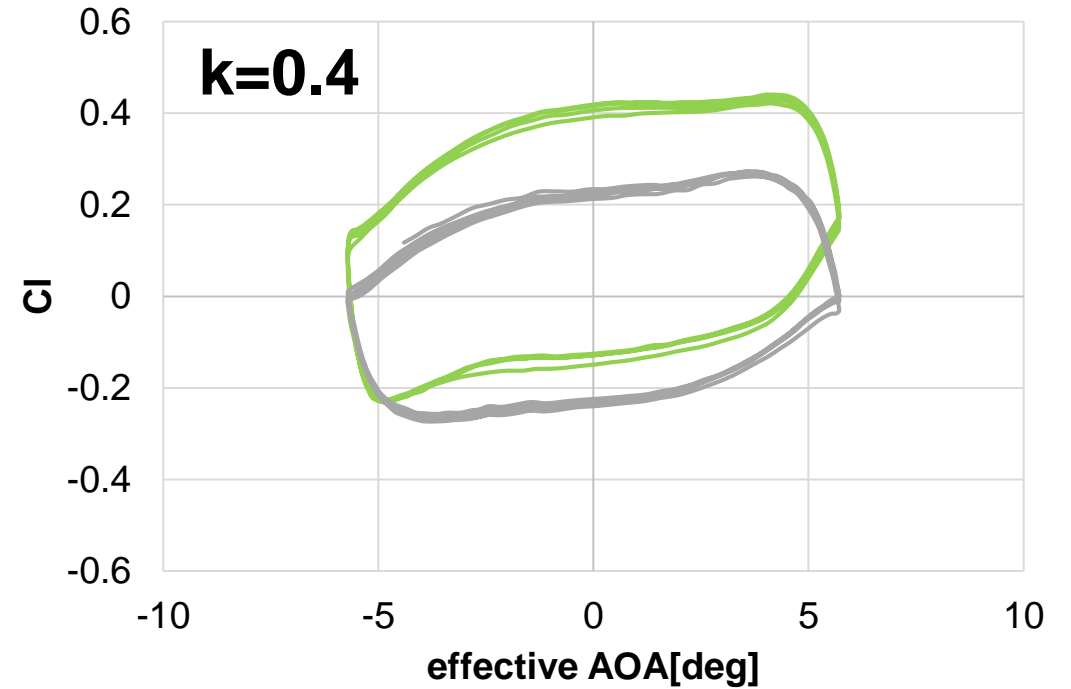
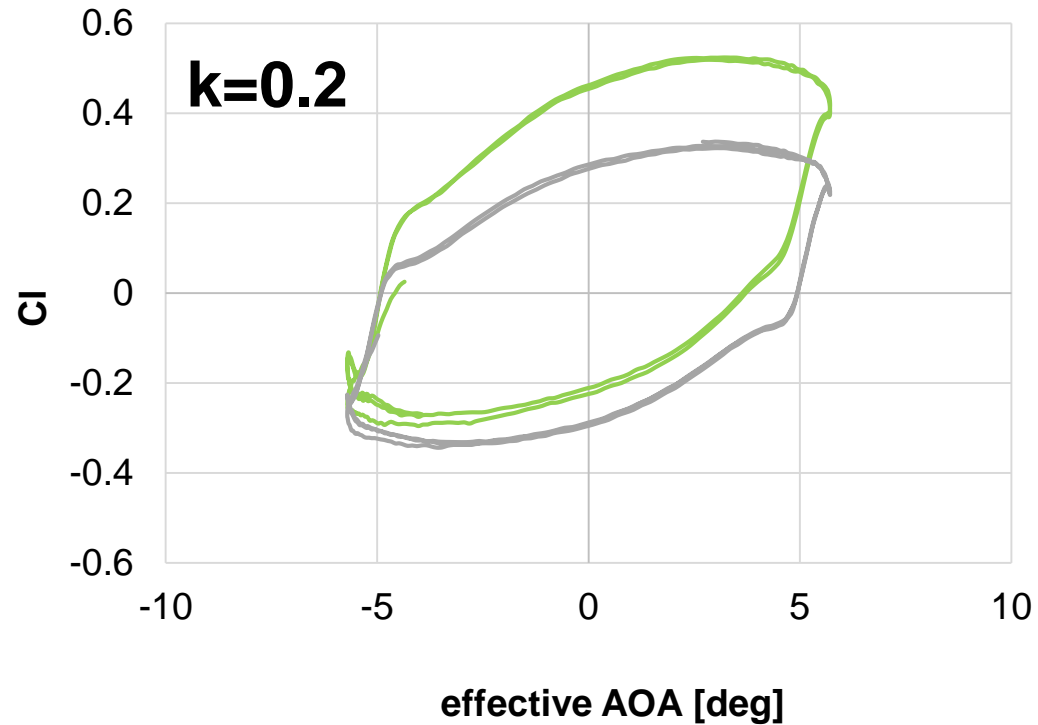
k=0.2



k=0.4



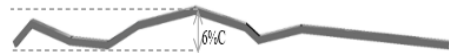
計算結果(揚力係数)



flat plate (1.5% c)



corrugated wing



➤ いずれの場合にもコルゲート翼の方が高Cl

目次

1. 移動境界解析 : 飛翔昆虫の翼解析
- 2. 固液混相流解析 : 流体食品の流れ**
3. 固気混相流解析 : 衝撃波による流れ

解析手法

支配方程式

連続の式

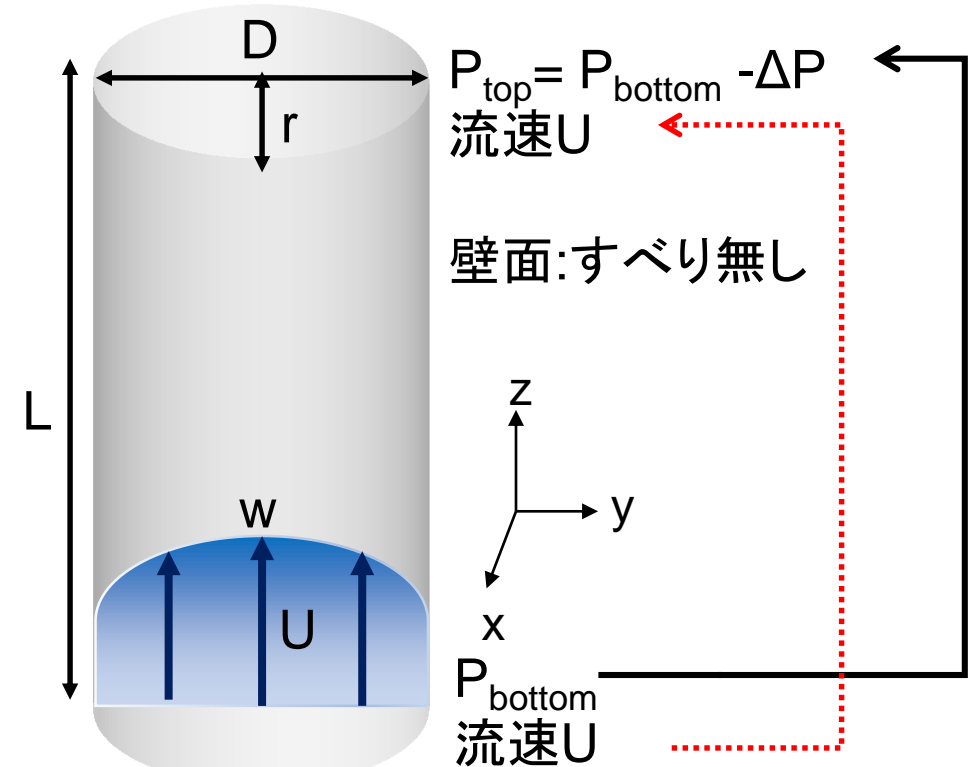
$$\nabla \cdot U = 0$$

3次元非圧縮性Navier-Stokes方程式

$$\frac{\partial U}{\partial t} + U \cdot \nabla U = -\frac{1}{\rho} \nabla P + \frac{\mu}{\rho} \nabla^2 U$$

格子	完全等間隔直交格子
離散化	有限差分法
流体-物体境界条件	埋め込み境界法 Level set法, Ghost cell法
圧力解法	BiCGSTAB法
粘性項	2次精度中心差分法
対流項	5次精度WENO法
粘性項の時間積分	Crank-Nicolson法
対流項の時間積分	3次精度TVD Runge-Kutta法

周期境界条件



初期条件: Hagen-Poiseuille流れ

速度分布定義

$$w(r) = \frac{\Delta P}{4\mu L} \left\{ \left(\frac{D}{2} \right)^2 - r^2 \right\}$$

周期境界条件: 底面圧力、上面圧力の差一定
 流入口, 流出口速度が周期境界条件

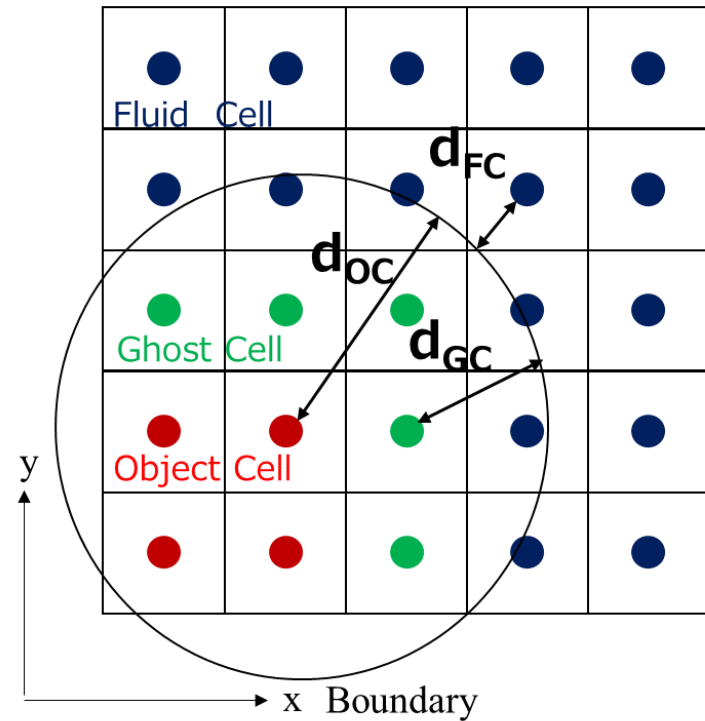
埋め込み境界法

複雑形状・移動物体定義に有効

流体領域: Fluid Cell (FC)

固体: Object Cell (OC)

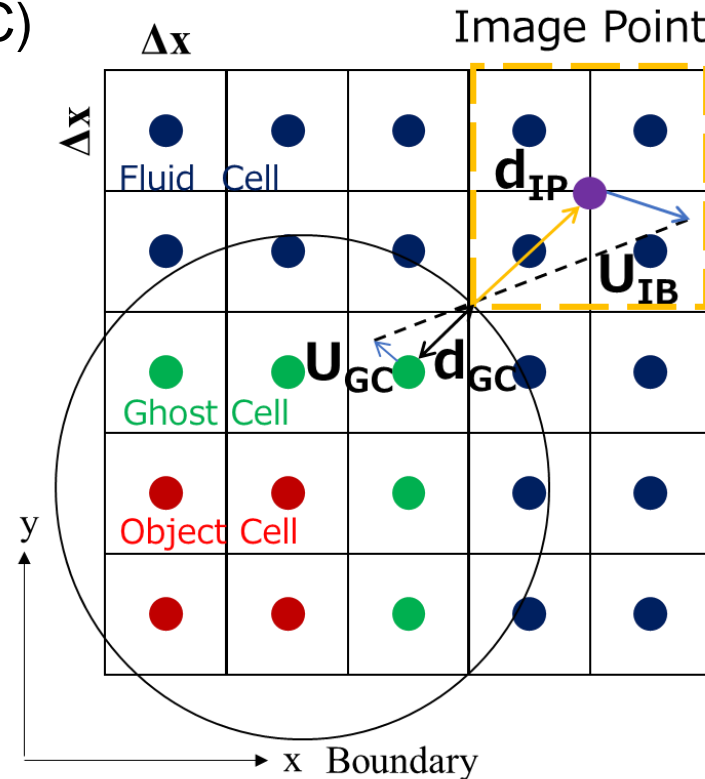
流体と固体の境界: Ghost Cell (GC)



cellの分類

埋め込み境界法:

格子上的level set法, ghost cell法
物体, 流体境界定義



埋め込み境界法

cellの分類

$$d_{FC} > 0$$

$$d_{GC} \leq 0 \text{ and } d_{GC} \geq -2.25\Delta x$$

$$d_{OC} < -2.25\Delta x$$

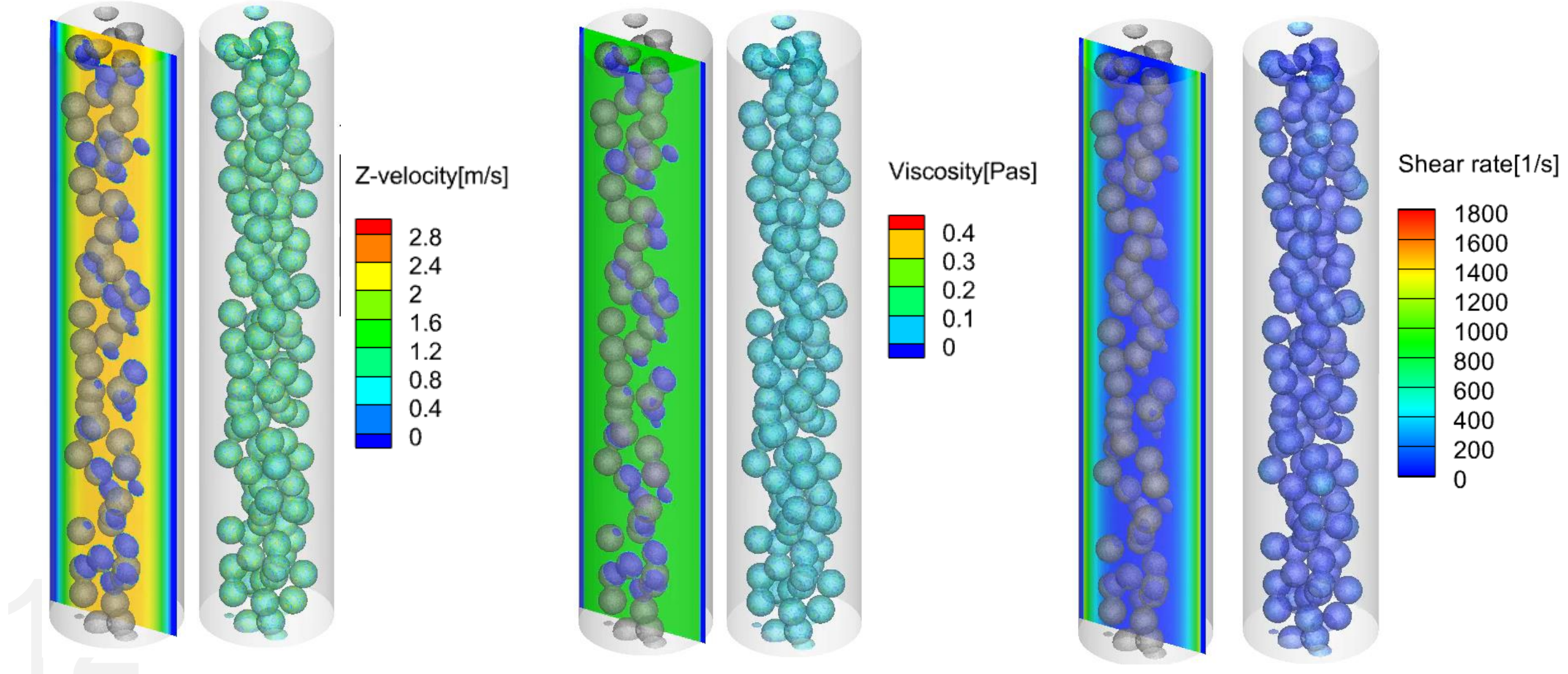
ghost cellに付加される速度

$$U_{GC} = U_{IP} - \frac{d_{IP} + d_{GC}}{d_{IP}} (U_{IP} - U_{IB})$$

円管の可視化($\alpha=0.15$)

球分割数	格子幅[m]	格子点数
20	0.15×10^{-3}	$100 \times 100 \times 466=4,660,000$

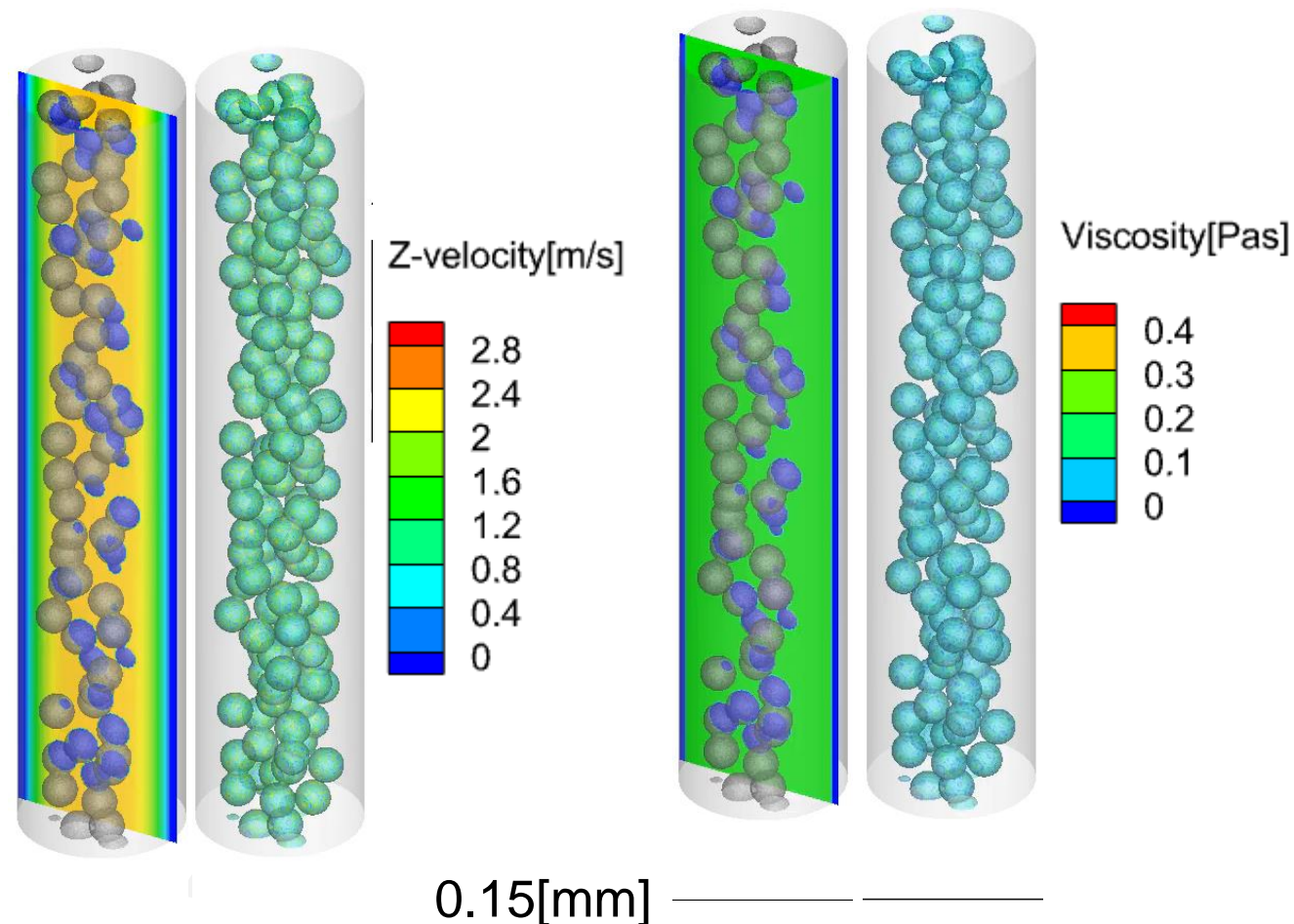
Time: 0.00000 [s]



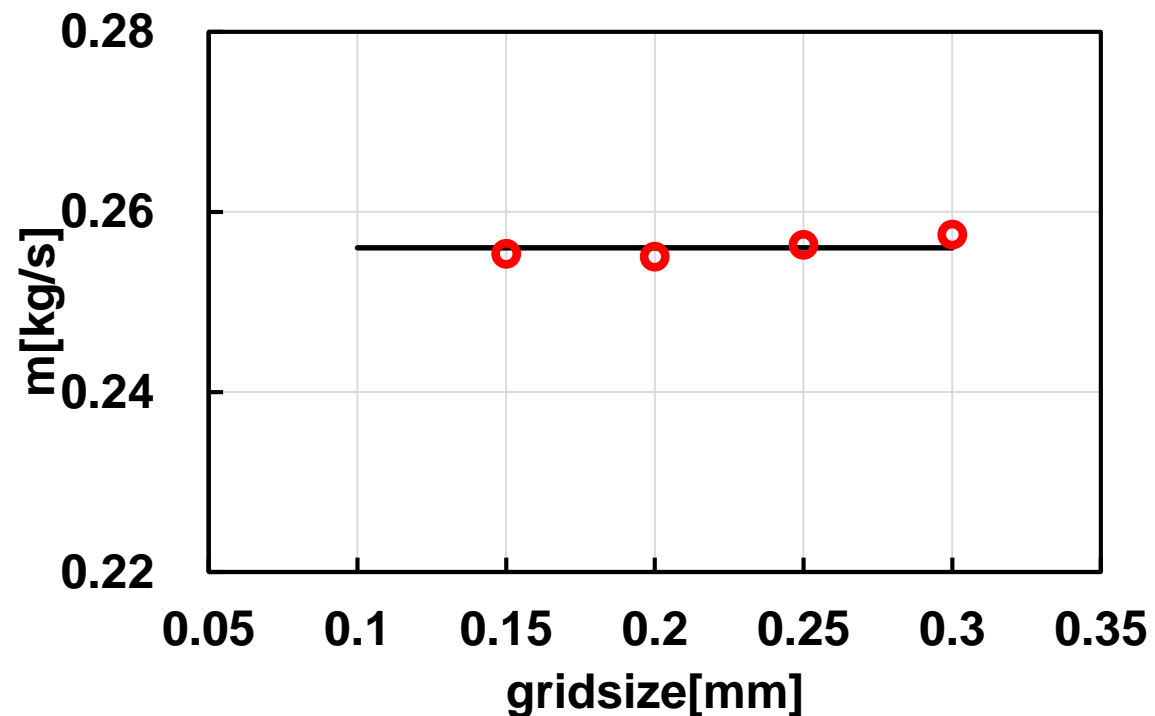
混相流の定量比較($\alpha=0.15$)

固体占有率: α

Time: 0.00000 [s]



球分割数	格子幅[m]	格子点数
10	0.30×10^{-3}	$57 \times 57 \times 233=757,017$
12	0.25×10^{-3}	$65 \times 65 \times 280=1,183,000$
15	0.20×10^{-3}	$75 \times 75 \times 350=1,968,750$
20	0.15×10^{-3}	$100 \times 100 \times 466=4,660,000$



実験値とCFDの良好な一致を確認

質量流量と格子幅の関係($\alpha=0.15$)

目次

1. 移動境界解析 : 飛翔昆虫の翼解析
2. 固液混相流解析 : 流体食品の流れ
- 3. 固気混相流解析 : 衝撃波による流れ**

支配方程式

continuous eq.

$$\frac{\partial \rho}{\partial t} + \frac{\partial(\rho u_i)}{\partial x_i} = 0$$

momentum eq.

$$\frac{\partial(\rho u_i)}{\partial t} + \frac{\partial(\rho u_i u_j)}{\partial x_j} = -\frac{\partial p}{\partial x_i} + \frac{Ma}{Re} \frac{\partial(\tau_{ij})}{\partial x_j}$$

energy eq.

$$\frac{\partial(\rho E)}{\partial t} + \frac{\partial}{\partial x_j} [(\rho E + p)u_j] = \frac{Ma}{Re} \frac{\partial(u_i \tau_{ij})}{\partial x_j} - \frac{\partial q_i}{\partial x_i}$$

equation of state

$$p = (\gamma - 1) \left(\rho E - \frac{1}{2} \rho u_i u_i \right) \quad T = \gamma \frac{p}{\rho}$$

stress tensor

$$\tau_{ij} = \mu \left(\frac{\partial u_i}{\partial x_j} + \frac{\partial u_j}{\partial x_i} - \frac{2}{3} \frac{\partial u_k}{\partial x_k} \delta_{ij} \right)$$

heat flux

$$q_i = -\mu \frac{\gamma}{\gamma - 1} \frac{Ma}{Re Pr} \frac{\partial}{\partial x_i} \left(\frac{p}{\rho} \right)$$

Sutherland's law

$$\mu = \left(\frac{\tilde{T}}{T_{ref}} \right)^{\frac{3}{2}} \frac{T_{ref} + S}{\tilde{T} + S}$$

equation of motion

$$\frac{\rho \pi S}{6} \frac{\partial U_j}{\partial t} = \int_{\Gamma} \left[-p \delta_{ij} + \mu \left(\frac{\partial u_i}{\partial x_j} + \frac{\partial u_j}{\partial x_i} \right) \right] n_j dS$$

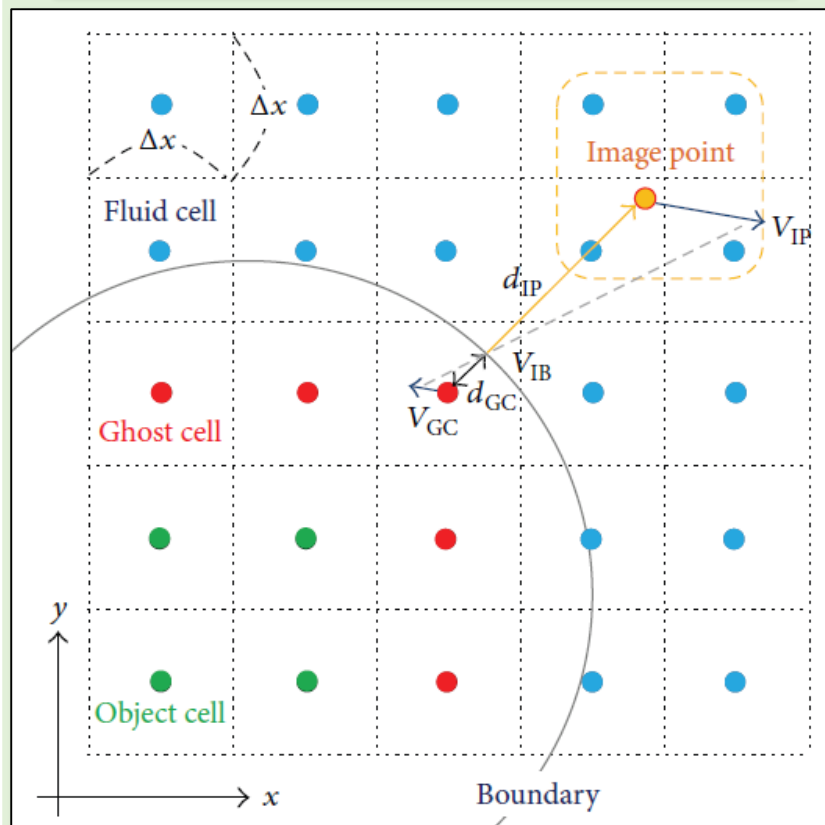
- 無次元化Navier-Stokes方程式
- Sutherland則
- 球の3自由度並進の運動方程式

計算手法

流体の方程式	圧縮性Navier-Stokes方程式 & Sutherland式
運動の方程式	3自由度並進運動方程式(回転含まない)
空間離散化	等間隔直交格子(外部境界近傍は不等間隔直交格子)
非粘性流束	3次精度MUSCL-Roe & 2次精度擬混合型ハイブリッド
粘性流束	2次精度中心差分
時間積分	3次精度TVD Runge-Kutta陽解法
壁面境界条件	ゴーストセル型埋め込み境界法(断熱・粘性壁)
外部境界条件	流入: Dirichlet型 側面&流出: Neumann型
並列計算法	ハイブリッドMPI

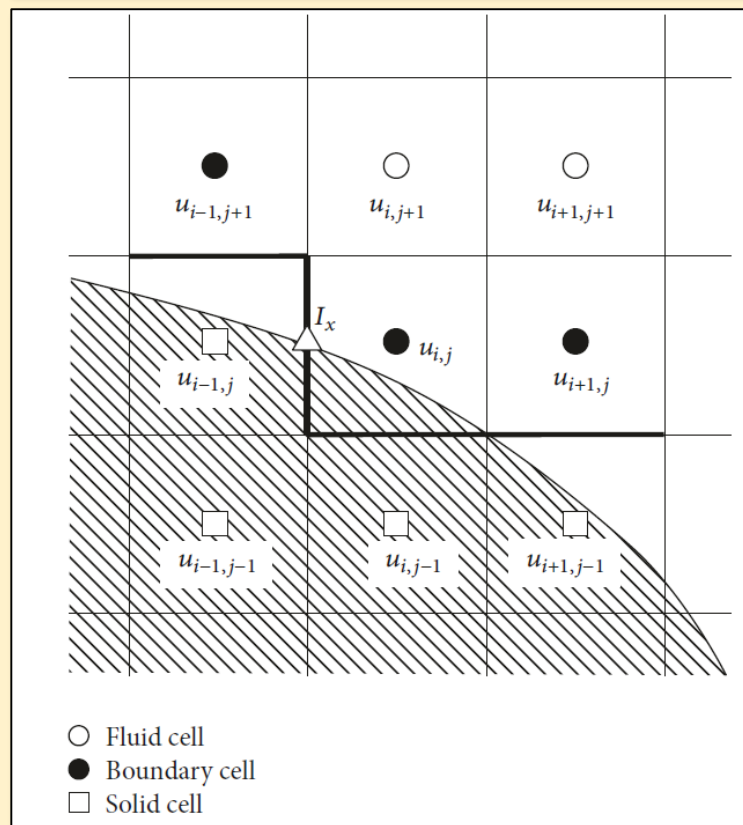
埋め込み境界法 (IBM)

Takahashi, S., et al.,
J. of Appl. Math. (2014) ,252478



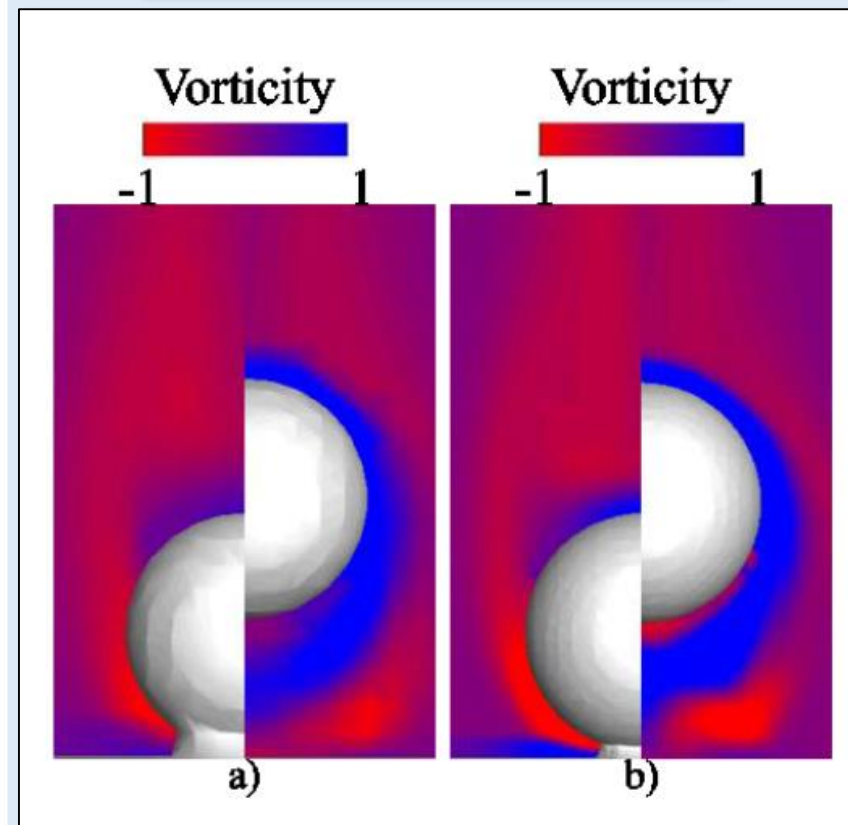
➤ ゴーストセル型IBMの開発

Nonomura, T., et al.,
Math. Prob. Eng. (2017) ,8314615



➤ 表面流体力計算の開発

Mizuno, Y., et al.,
Appl. Sci. (2018) ,8, 2387



➤ 運動方程式連成の開発

亜音速～超音速の低Re数の物体周りの数値計算法の開発

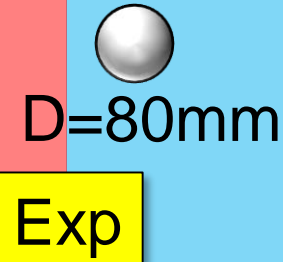
先行研究に基づいた初期条件

Tanno, H., et al.,
Shock Waves (2003) 13: 191–200

- 衝撃波Ma数: 1.22
- 粒子Re数: 30万
- 衝撃波管による実験&CFD
- 論文の条件抜粋

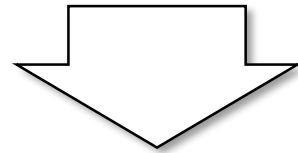
高圧領域(2): 窒素

$$\begin{aligned}\rho_2 &= 1.66 \text{ kg/m}^3 \\ u_2 &= 114 \text{ m/s} \\ p_2 &= 159 \text{ kPa} \\ \mu_2 &= ?\end{aligned}$$



低圧領域(1): 室温空気

$$\begin{aligned}\rho_1 &= 1.205 \text{ kg/m}^3 \\ u_1 &= 0 \\ p_1 &= 101 \text{ kPa} \\ \mu_1 &= 1.82 \times 10^{-5} \text{ Pa}\cdot\text{s}\end{aligned}$$



Sun, M., et al.,
Shock Waves (2004) 14: 3–9

- 衝撃波Ma数: 1.22
- 粒子Re数: 49~49万
- BFC軸対称細分化格子CFD
- 論文の記述を元に無次元化

高圧領域(2): 理想気体

$$\begin{aligned}\rho_2 &= 1.9269 \\ u_2 &= 0.3361 \\ p_2 &= 1.5696 \\ \mu_2 &= 0.013217\end{aligned}$$



低圧領域(1): 理想気体

$$\begin{aligned}\rho_1 &= 1.4 \\ u_1 &= 0 \\ p_1 &= 1 \\ \mu_1 &= \mu_2\end{aligned}$$

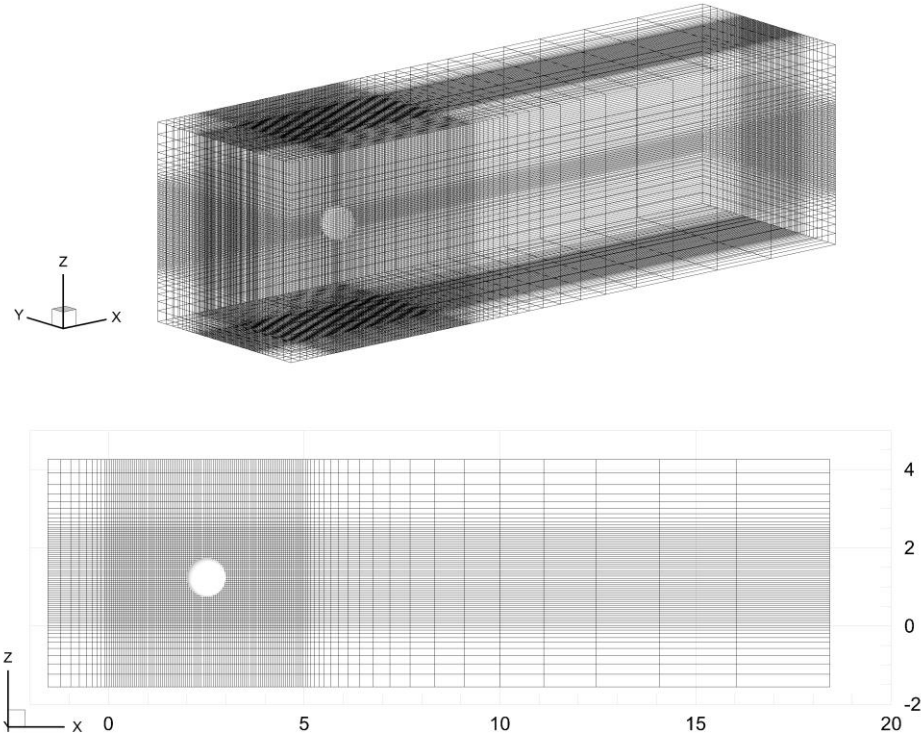
本研究は
粒子Re数が
49の場合のみ
(Kn=9.4 × 10⁻³)

※CPD: Cell Per Diameter

計算格子

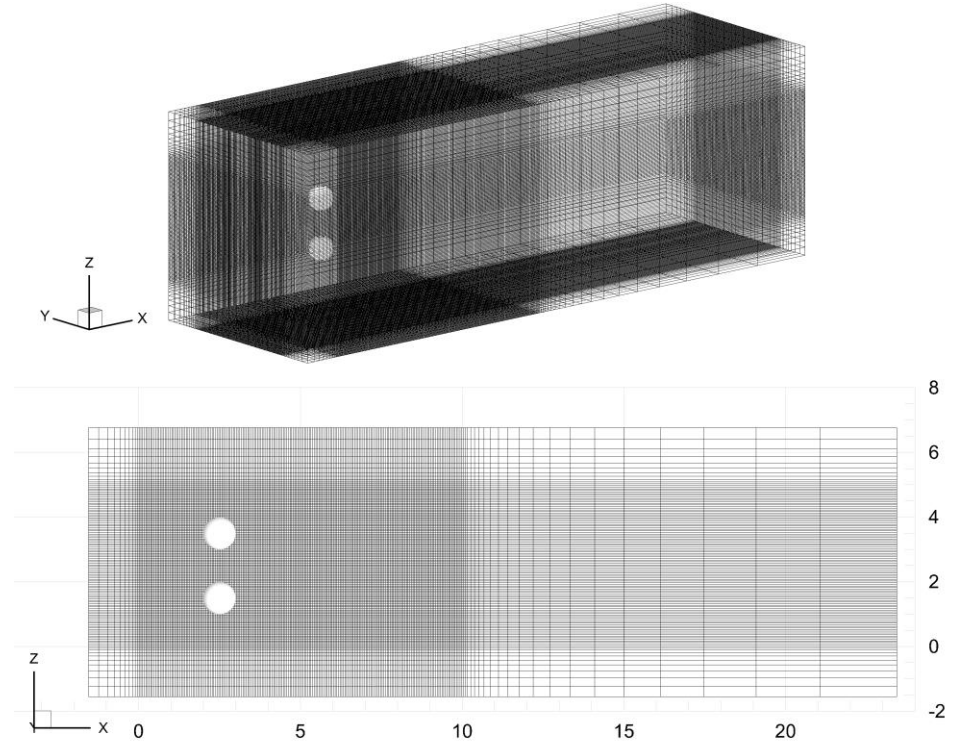
※1/8粗視化データを可視化

単一球の解析



名称	格子幅	格子点数
CPD20	0.05D	1.3M (160×90×90)
CPD40	0.025D	5.1M (260×140×140)
CPD80	0.0125D	26M (460×240×240)

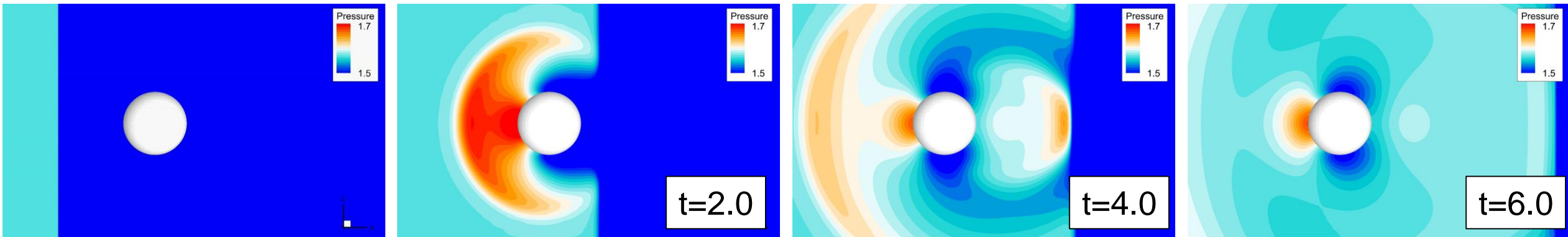
2球の解析



名称	格子幅	格子点数	球の比重
直列	0.025D (CPD40)	26M (460×240×240)	10, 100, 1000 (気体密度に 対する比)
並列			
斜め			

圧力の可視化

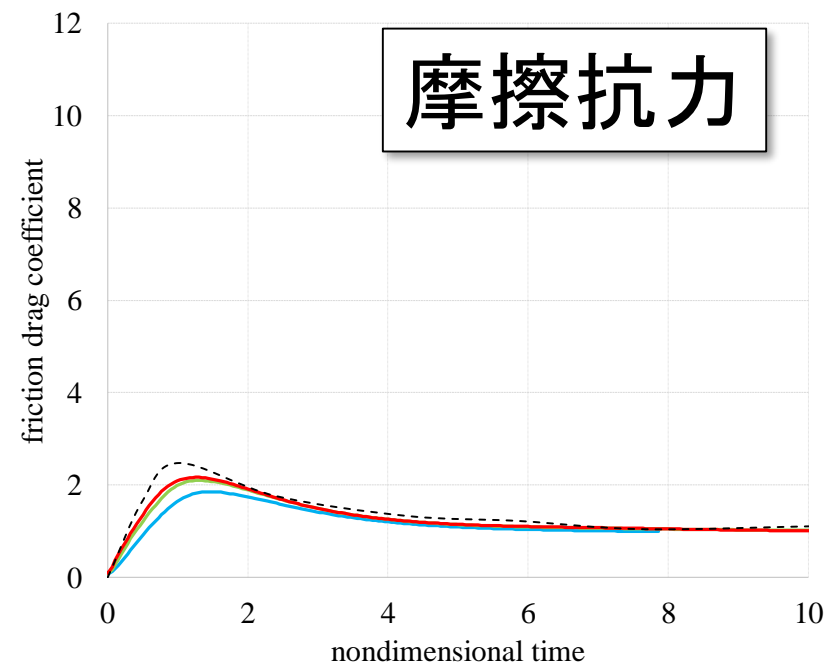
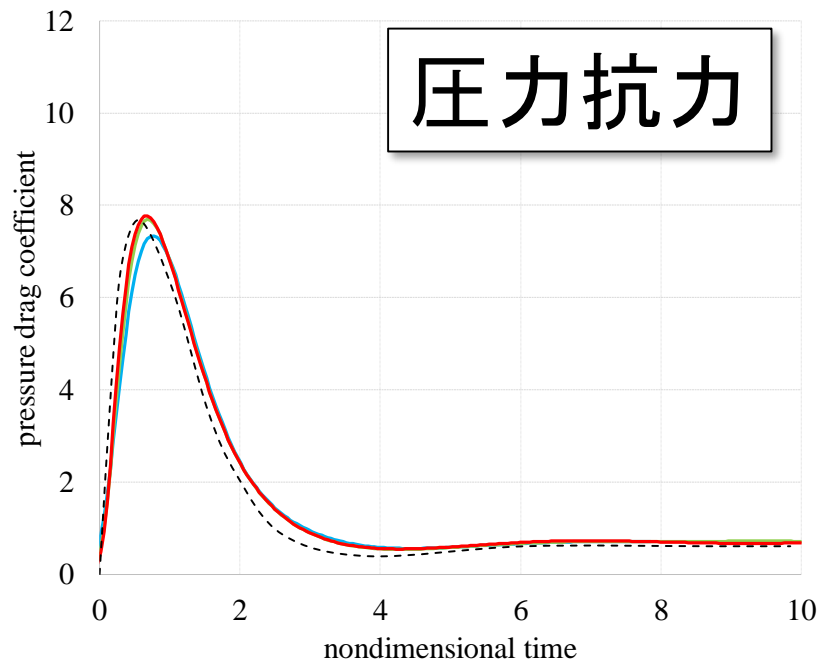
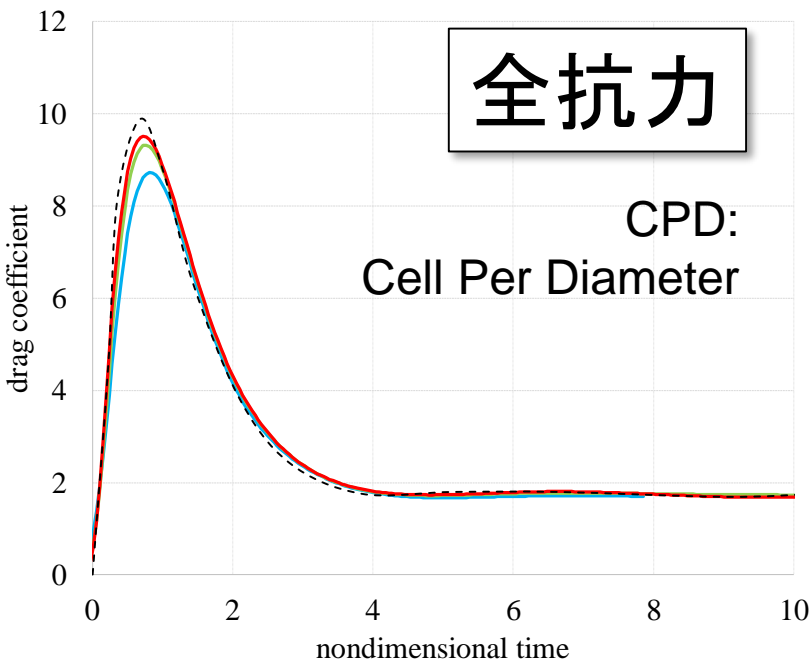
【検証】格子依存性



— CPD020 — CPD040 — CPD080 -- Sun

— CPD020 — CPD040 — CPD080 -- Sun

— CPD020 — CPD040 — CPD080 -- Sun

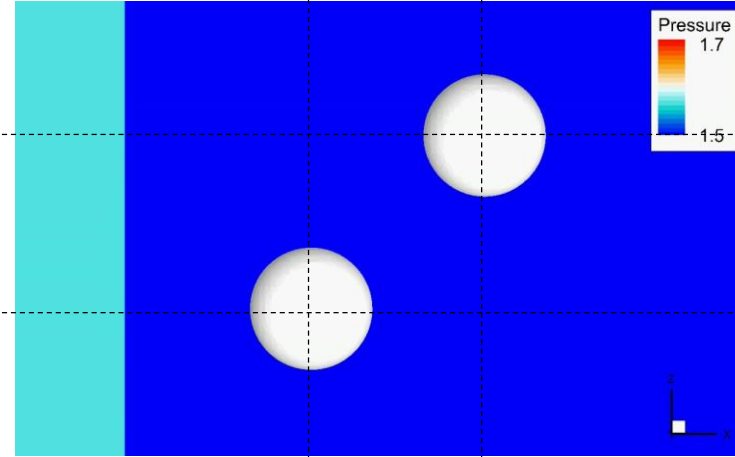
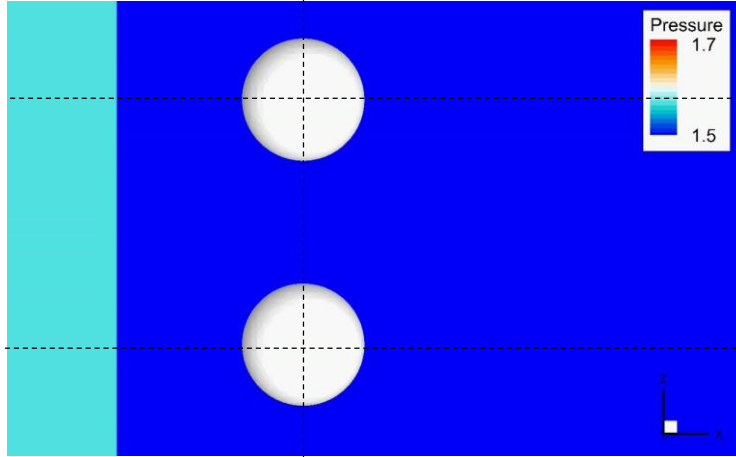
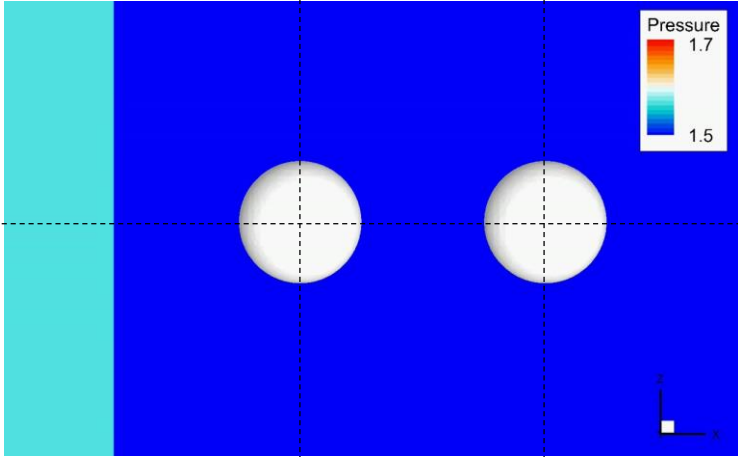


CPD40で格子収束→移動球の解析はすべてCPD40で実施

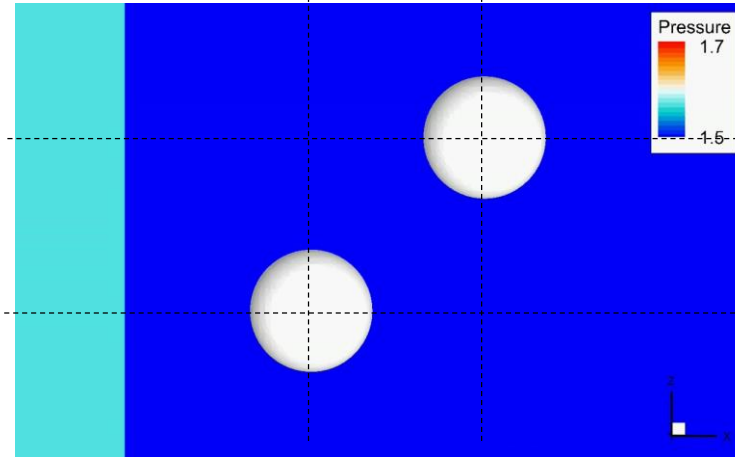
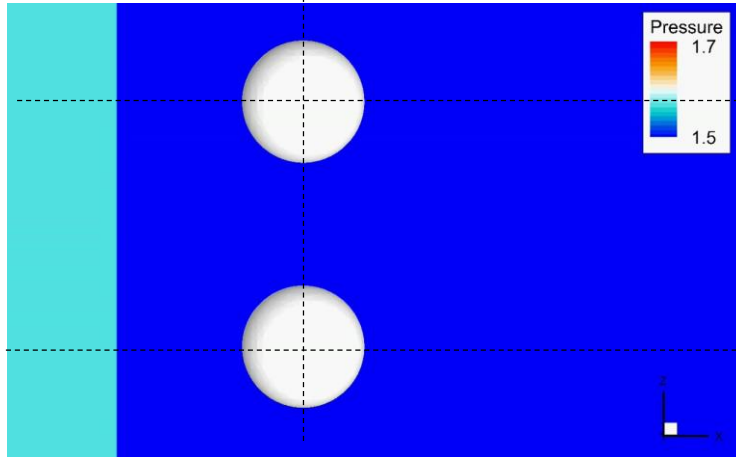
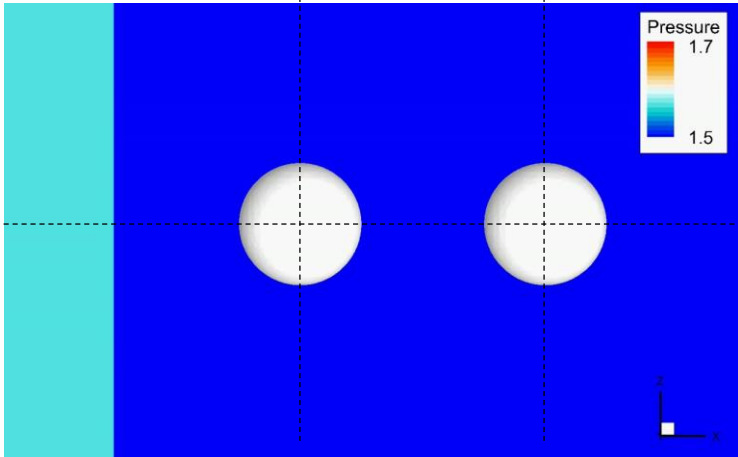
※ここでの比重
→気体に対する密度比

【応用2】比重別の移動する2球の解析

比重
10

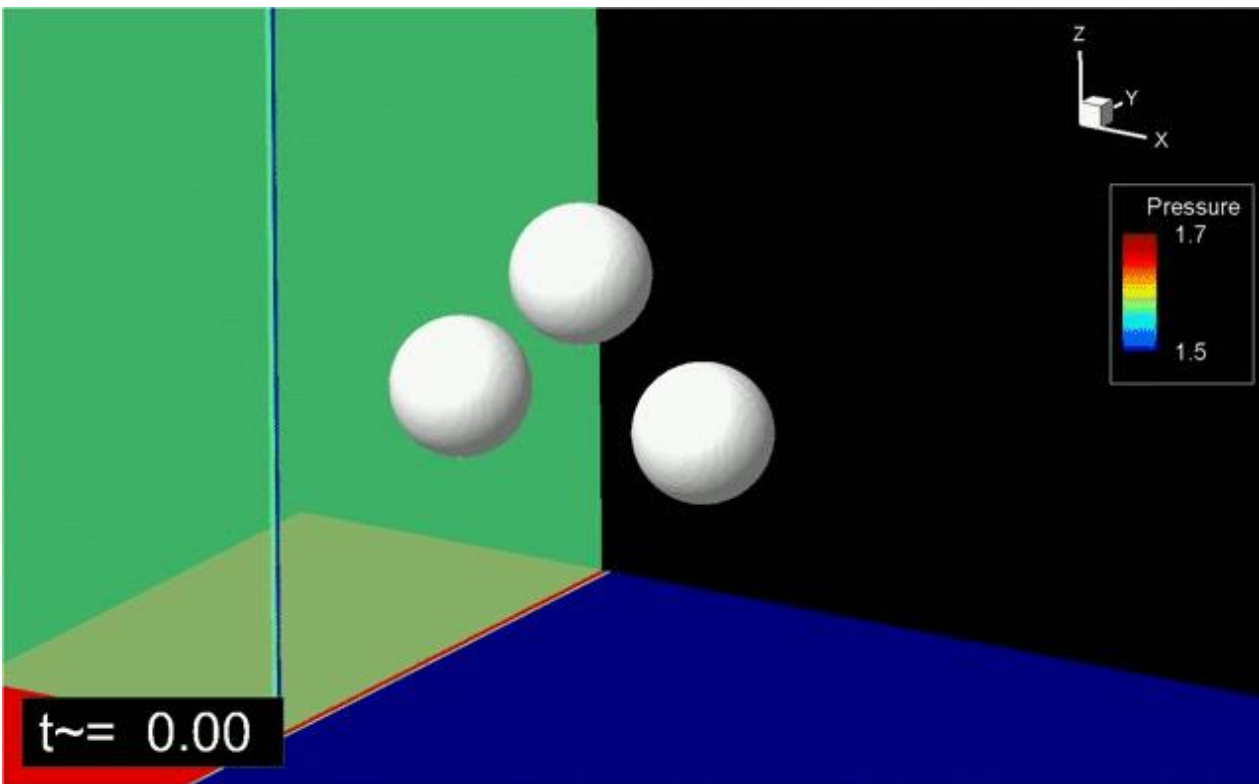


比重
1000

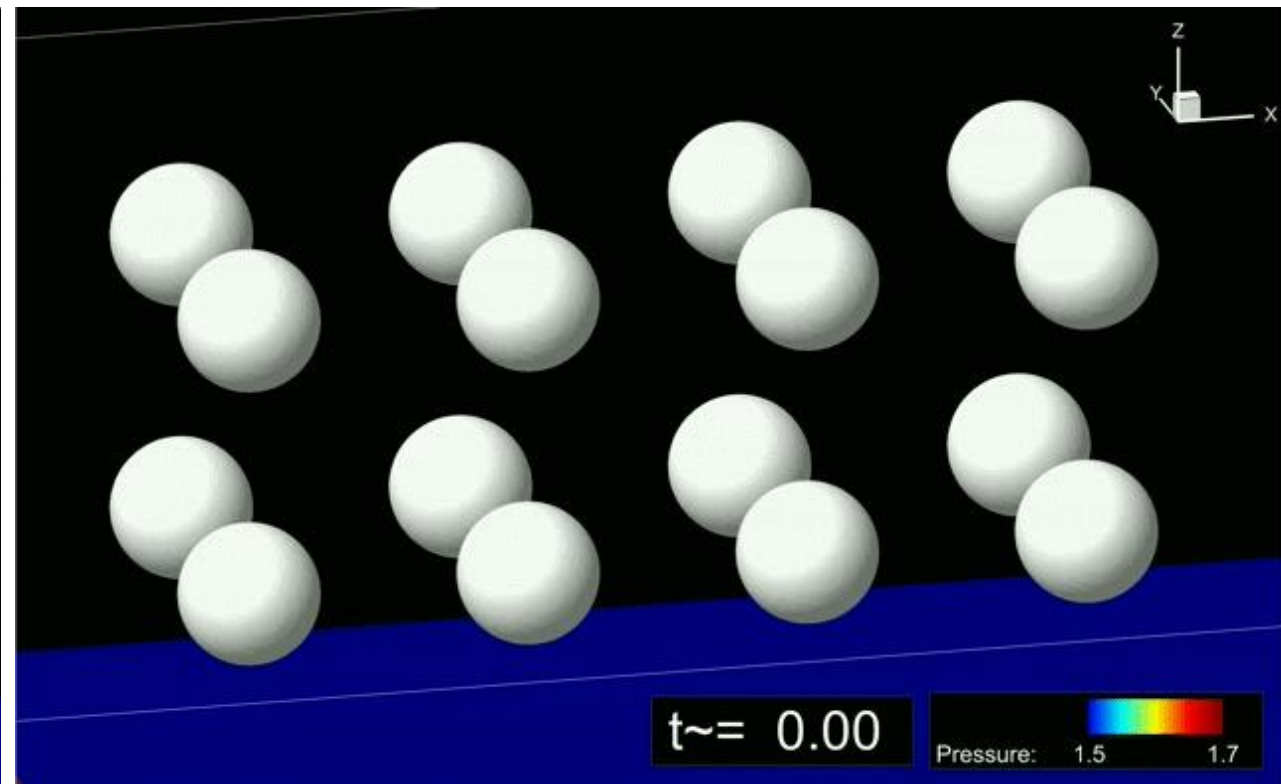


比重1000は比重10に比べて固定と見做して差し支えない(移動量100倍差)

衝撃波負荷により移動する多数粒子



3粒子



16粒子

まとめと今後の課題

1. ゴーストセル法の応用性を移動境界問題で確認
2. ゴーストフルード法を非圧縮・圧縮流れに適用
3. さらに高精度かつ汎用性の高い解析法の構築